



HALO 系统

射频消融治疗
食道鳞状细胞上皮内瘤变(ESCN)
和巴瑞特(Barrett's)食道

BARRX Medical (美国巴瑞医疗器械有限公司, 隶属柯惠 (Covidien) 医疗集团) 是总部位于美国加州硅谷的医疗高科技公司, 其生产的 HALO³⁶⁰ 射频消融系统是目前治疗消化道上皮内瘤变, 食道鳞状细胞上皮内瘤变 (ESCN) 和巴瑞特 (Barrett's) 食管的新技术, 消除病人罹患食道癌的风险。配合不同直径和大小的射频消融导管, 医生操作时间短, 病人痛苦小, 创伤小, 安全性高, 并发症少, 全球已经有超过 12 万病人接受了 HALO 射频消融的治疗, 并发症发生率小于 0.22%, 超过 88 篇研究文献发表在全球核心杂志。

Covidien (柯惠医疗集团) 是全球领先的医疗产品公司, 其创建革新的医疗解决方案, 通过临床领导能力及卓越的表现来使病人实现更好的结果, 并实现价值。Covidien 制造、分销多种业界领先的产品线, 并为这些产品线提供服务, 包括外科设备、基于能量的设备、呼吸和监控解决方案、病人护理与安全产品、影像解决方案、医药产品、医疗用品。2011 年, Covidien 的收入达到近 120 亿美元, 在世界上的 57 个国家中雇有 41,000 余名员工, 其产品销往 130 多个国家。

食道鳞状细胞上皮内瘤变 (ESCN) 和巴瑞特 (Barrett's) 食道发病率和癌变率:

食道鳞状细胞上皮内瘤变 (ESCN)

尽管没有确定的数字, 保守的估计显示, 在中国至少有 5 百万 ESCN 病人。^{1,2,3,4} 在这些患者当中, 有显著数目的人将进展为食管癌, 导致每年 211,000 例疾病相关的死亡。^{5,6,7}

食道鳞状细胞上皮内瘤变 (ESCN) 3.5 年内癌变率⁵:

- 低度上皮内瘤变 (LGIN) 5.3%
- 中度上皮内瘤变 (MGIN) 26.7%
- 高度上皮内瘤变 (HGIN) 65.2%

食道鳞状细胞上皮内瘤变 (ESCN) 13.5 年内癌变率⁶:

- 低度上皮内瘤变 (LGIN) 24%
- 中度上皮内瘤变 (MGIN) 50%
- 高度上皮内瘤变 (HGIN) 75%

巴瑞特 (Barrett's) 食道

胃食管反流病 (GERD) 在中国成年人 (18 岁及以上) 的发病率为 4.1% to 7.3%,⁸ 中国大约有 3 千 7 百万至 6 千 5 百万 GERD 病人, 并随着生活节奏加快和食用更多的西式快餐和高脂食物, GERD 病人目前呈上升趋势。

10%-15%⁹ 的 GERD 病人被检出巴瑞特 (Barrett's) 食道。

根据文献报道, 巴瑞特 (Barrett's) 食管在中国成人中的发病率为 1%¹⁰ 至 2.4%¹¹之间。

巴瑞特 (Barrett's) 食道病人发展为食道腺癌的危险度是正常人群的 30-125 倍¹²。

巴瑞特 (Barrett's) 食管癌变率:

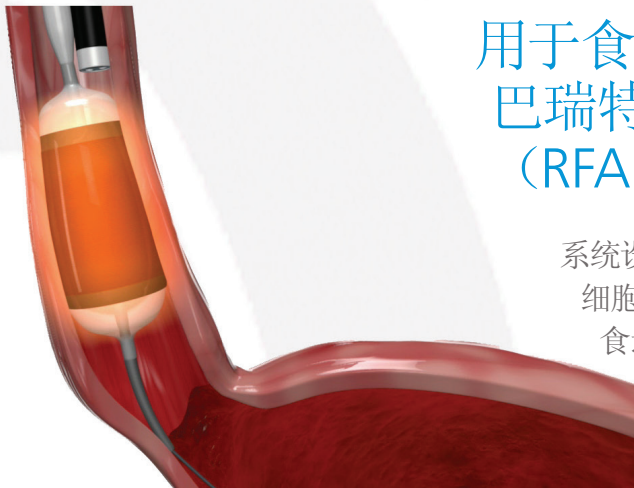
- 低度异形增生 (LGD) 每年 1.4%^{13-3.4%¹⁴}
- 高度异形增生 (HGD) 每年 6.6%^{15-10%¹⁶}
- 41% - 80% 的低度异形增生 (LGD) 在 11 个月内进展为高度异形增生 (HGD)¹⁷

1. He Z, Zhao Y, Guo C, et al. Prevalence and risk factors for esophageal squamous cell cancer and precursor lesions in Anyang, China: a population-based endoscopic survey. Br J Cancer. 2010;103:1085-8.
2. Qiu SL, Yang GR. Precursor lesions of esophageal cancer in high-risk populations in Henan Province, China. Cancer. 1988;62:551-7.
3. Dry SM, Lewin KJ. Esophageal squamous dysplasia. Semin Diagn Pathol. 2002;19:2-11.
4. Lu XJ, Chen ZF, Guo CL, et al. Endoscopic survey of esophageal cancer in a high-risk area of China. World J Gastroenterol. 2004;10:2931-5.
5. Dawsey SM, Lewin KJ, Wang G-Q, et al. Squamous Esophageal Histology and Subsequent Risk of Squamous Cell Carcinoma of the Esophagus. Cancer. 1994;74:1686-92.
6. Wang GQ, Abnet CC, Shen Q et al. Histological precursors of oesophageal squamous cell carcinoma: results from a 13 year prospective follow up study in a high risk population. Gut. 2005;54:187-92.
7. 2011 中国肿瘤登记年报
8. Jung H-K. Epidemiology of Gastroesophageal Reflux Disease in Asia: A Systematic Review. J Neurogastroenterol Motil, Vol. 17 No. 1 Jan 2011.
9. Castell DO, Katzka DA. Barrett's esophagus: continuing questions and controversy. Gastrointest Endosc 1999; 49: S5-8.
10. Xiong LS, Cui YU, Wang JP et al. Prevalence and risk factors of Barrett's esophagus in patients undergoing endoscopy for upper gastrointestinal symptoms. Journal of Digestive Disease 2010; 11; 83-87.
11. Chen X, Zhu L, Hous K. The characteristics of Barrett's esophagus: an analysis of 4120 cases in China. Diseases of the Esophagus 2009; 22; 348-353.
12. Sharma VK, Wang KK, Overholt BF, et al. Balloon-based, circumferential, endoscopic radiofrequency ablation of Barrett's esophagus: 1-year follow-up of 100 patients. Gastrointest Endosc 2007; 65: 185-194.
13. Gatenby P, Ramus J, Caygill C et al. Routinely diagnosed low-grade dysplasia in Barrett's oesophagus: a population-based study of natural history. Histopathology 2009; 54, 814-819
14. Curvers WL, ten Kate RJ, Krishnadath KK et al. Low-Grade Dysplasia in Barrett's Esophagus: Overdiagnosed and Underestimated. American Journal of Gastroenterology 2010; May 11, advance online publication.
15. Rastogi A, Puli S, El-Serag HB et al. Incidence of esophageal adenocarcinoma in patients with Barrett's esophagus and high-grade dysplasia: a meta-analysis. Gastrointestinal Endoscopy 2008, March; 67(3): 394-8.
16. Bennett C, Vakil N, Bergman, J et al. Consensus Statements for Management of Barrett's Dysplasia and Early-Stage Esophageal Adenocarcinoma, Based on Delphi Process. Gastroenterology 2012; August, Vol 143, Issue 2, Pages 336-46.
17. Skacel M, Petras RE, Gramlich TL et al. The Diagnosis of Low-Grade Dysplasia in Barrett's Esophagus and Its Implications for Disease Progression. American Journal of Gastroenterology 2000; Vol 95, No. 12.

HALO 系统

用于食道鳞状细胞上皮内瘤变 (ESCN) 和
巴瑞特 (Barrett's) 食道治疗的先进射频消融
(RFA) 技术

系统设计用于在短暂、容易耐受的内窥镜治疗中去除发生病变的上皮细胞。RFA 为食道鳞状细胞上皮内瘤变 (ESCN) 和巴瑞特 (Barrett's) 食道患者提供一种治疗方法。



HALO³⁶⁰⁺ 消融导管, 内窥镜配合工作

HALO 系统包括:

HALO³⁶⁰⁺ 消融导管

经过临床测试¹

- 临床研究报告显示 RFA 是一种有效和容易耐受的治疗方法
- 论文发表在权威出版物, 包括 Endoscopy、Gut 和 Gastrointestinal Endoscopy 等医学期刊

精确的消融，可预测的结果¹

精确的消融

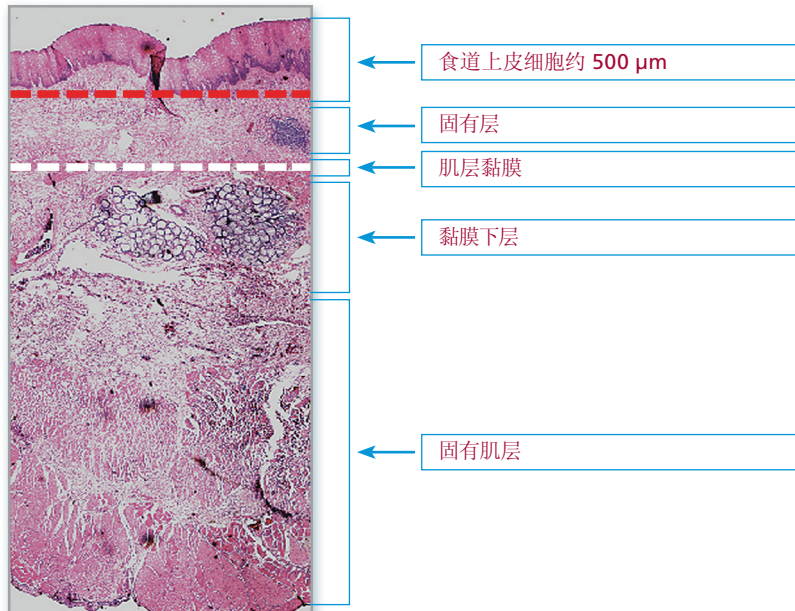
HALO 能量发生器和 HALO 消融导管电极组旨在协同作业，进行深度一致、介于约 500 μm 和约 1,000 μm 之间的表层消融。

人类食道样本 (H&E 着色)

目标上皮细胞

HALO 系统消融，
深度在约 500 μm 至 1,000 μm 之间

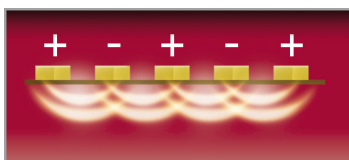
内窥镜黏膜切除术 (EMR)
近似深度



可预测的结果

在 HALO 系统中包含的专有技术旨在最大限度地利用临床结果，并完全去除目标上皮细胞，但不会对下层组织造成重大损伤。

HALO 消融导管电极



双极电极组的几何结构有助于将消融深度准确地控制在 < 1,000 μm 的水平。

- 消融能量递送时间不足一秒，从而能够快速治疗较长或较短的组织区段
- 均匀、一致的双极能量递送可去除食道上皮细胞，并改善患者的耐受性
- 低于 1,000 μm 的受控治疗深度可降低形成食道狭窄的风险

射频消融治疗食道鳞状细胞上皮内瘤变 (ESCN) 环状消融

HALO³⁶⁰⁺ 消融导管

- 易操作
- 柔软易用的球囊材料

采用清醒镇静的方法，利用标准内窥镜技术，HALO³⁶⁰⁺ 消融导管可帮助快速消融长和短区段的食道鳞状细胞上皮内瘤变 (ESCN)。

1) 基线评估

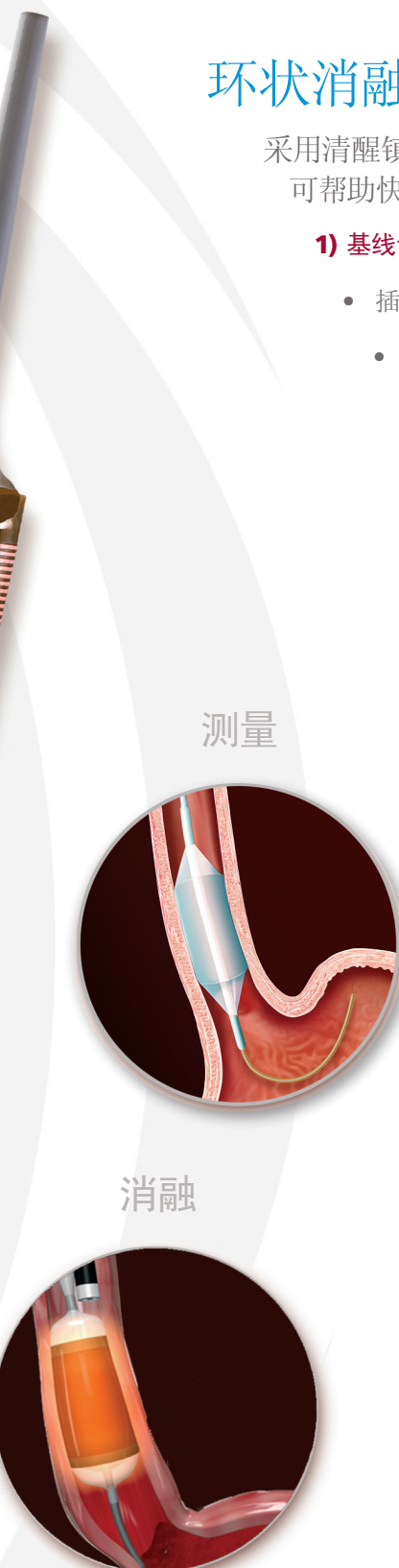
- 插入内窥镜检查。
- 喷洒 Lugol's 碘溶液 (1.25%)。
- 对每一个 USL 进行活组织检查，用于组织学分析。
- 使用“GI Spot”等材料放置标记线 (每个 0.25 ml)。

2) 疾病确定

- 根据以前的内窥镜检查结果，确定标记线和治疗区间 (TA)。

3) 测量:

- HALO³⁶⁰ 测量球囊沿导丝上方插入。
- 测量食道内径。



4) 消融:

- HALO³⁶⁰⁺ 消融导管沿导丝上方插入。
- 导管放置在目标组织的近边。递送消融能量。向远端移动导管，治疗所有的目标组织。

BARRY

射频消融治疗巴瑞特 (Barrett's) 食道 环状消融

HALO³⁶⁰⁺ 消融导管

- 易操作
- 柔软易用的球囊材料



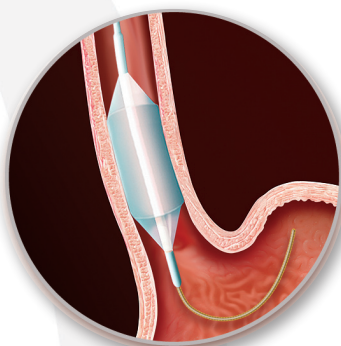
BARRY

采用清醒镇静的方法，利用标准内窥镜技术，HALO³⁶⁰⁺ 消融导管可帮助快速消融长和短区段的巴瑞特 (Barrett's) 食道病变。

1) 确定:

- 插入内窥镜，确定和记录解剖学标志。

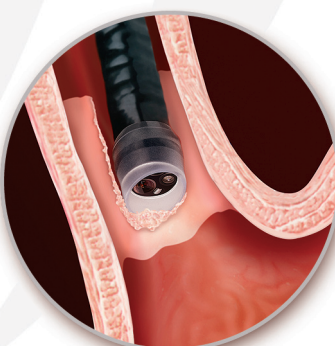
测量



消融



清洁和重复



3) 消融:

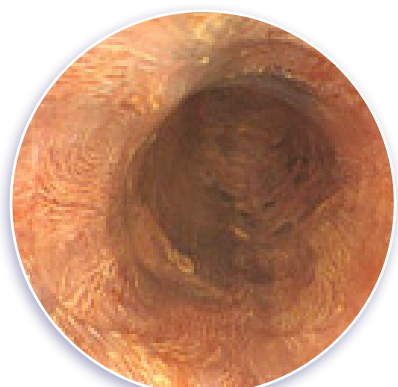
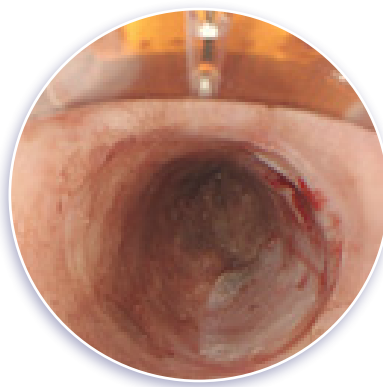
- HALO³⁶⁰⁺ 消融导管沿导丝上方插入。
- 导管放置在目标组织的近边。递送消融能量。向远端移动导管，治疗所有的目标组织。

4) 清洁和重复*:

- 用安装在内窥镜上的清洁帽去除消融区的凝结物。在体外清洁消融导管的电极表面。
- 消融导管沿导丝上方插入。根据标示设置建议的能量设定值。
- 重复消融步骤和内窥镜检查。

完成消融手术。

食道鳞状细胞上皮内瘤变 (ESCN)

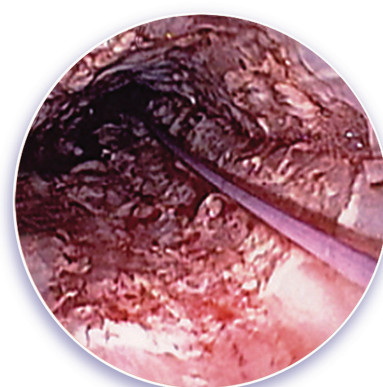


就诊

治疗

痊愈

巴瑞特 (Barrett's) 食道



就诊

治疗

痊愈

附注: 尽管与使用 HALO³⁶⁰⁺ 消融导管进行射频消融 (RFA) 手术相关的并发症发生率已经在大多数内窥镜检查和外科手术中证明很低, 但依然存在与 RFA 相关的风险, 包括严重的并发症。如需了解有关适应症、警告、注意事项、不利事件和使用方法的全面信息, 请参考装置说明。请查阅装置的《使用说明》。

参考资料

在接下来的脚注中说明引用的数据。

1. Zhang YM、Bergman JJ、Weusten B 等人“早期食道鳞状细胞上皮内瘤变射频消融”(Radiofrequency ablation for early esophageal squamous cell neoplasia); 《内窥镜检查》(Endoscopy) 2010 年; 42 期第 327-333 页
2. Van Vilsteren FG、Herrero AL、Pouw RE 等人“食道鳞状细胞上皮内瘤变和黏膜鳞状细胞癌消除射频消融”(Radiofrequency ablation for the eradication of esophageal squamous high-grade intraepithelial neoplasia and mucosal squamous cell carcinoma); 《内窥镜检查》(Endoscopy) 2010 年; 43 期第 282-290 页
3. Pouw RE、Gondrie JJ、Curvers WL 等人“广泛分布早期鳞状细胞癌和食道重度发育异常成功的球囊射频消融: 个案报告”(Successful balloon-based radio-frequency ablation of a widespread early squamous cell carcinoma and high-grade dysplasia of the esophagus: a case report); 《胃肠道内窥镜检查》(Gastrointest Endosc) 2008 年; 68 期: 第 537-541 页
4. Becker V、Bajbouj M、Schmid RM 和 Meining A.“多病灶上皮内瘤变和表皮食管鳞状细胞癌多种形式内窥镜疗法 —— 一个案系列”(Multimodal endoscopic therapy for multifocal intraepithelial neoplasia and superficial esophageal squamous cell carcinoma – a case series); 《内窥镜检查》(Endoscopy) 2010 年; 43 期第 360-364 页

系统组成和附件*

HALO³⁶⁰ 能量发生器: 订购号码 1100C-230B



HALO³⁶⁰ 能量发生器 — 1100C-230B

- 专有 300 瓦射频能量发生器自动进行测量程序、设定消融参数和向消融导管供应能量。
- 随能量发生器提供的附件:
- HALO³⁶⁰ 脚踏开关 — 订购号码 FS-100B
- HALO³⁶⁰ 输出缆 — 订购号码 CCC-001B



HALO³⁶⁰ 测量球囊: 订购号码 3441B

与 HALO³⁶⁰ 能量发生器兼容, 可测量食道内径。

- 球囊直径: 33.7 毫米
- 球囊长度: 4 厘米
- 导管杆直径: 7 毫米
- 导管杆工作长度: 85 厘米

HALO³⁶⁰⁺ 消融导管

设计用于较大治疗部位的射频双极电极球囊消融导管。

- 单个患者使用的消融导管
- 单独包装
- 球囊长度: 4 厘米
- 电极长度: 3 厘米
- 导管杆工作长度: 85 厘米
- 导管杆直径: 7 毫米

可用直径尺寸订购号码:

■	18 毫米: 32041-18
■	22 毫米: 32041-22
■	25 毫米: 32041-25